# カーボンニュートラルの実現に貢献する 自然由来ガス絶縁開閉装置

72/84 kV Gas-Insulated Switchgear Contributing to Realization of Carbon Neutrality by Using Natural Origin Gas

高尾 修平 TAKAO Shuhei 大西 智哉 ONISHI Tomoya 白井 英明 SHIRAI Hideaki

送変電機器の高電圧絶縁媒体として使用されてきた六フッ化硫黄  $(SF_6)$  ガスは地球温暖化係数が極めて高く、その削減はカーボンニュートラルの実現に大きく貢献することから、世界的に $SF_6$  ガスフリー化の動きが進んでいる。

東芝エネルギーシステムズ(株)は、自然界に存在するガスを絶縁媒体に用いた新しい変電機器ブランドAEROXIA $^{\rm m}$ の開発を進めており、その初製品として、SF<sub>6</sub>ガスを用いない合成空気(ドライエア)絶縁の72/84 kV ガス絶縁開閉装置(GIS:Gas Insulated Switchgear)を開発した。高電圧導体の表面状態の改良やガス接地開閉器への消弧方式の最適化などによってコンパクト化を図り、東京電力パワーグリッド(株)府中変電所GIS更新のために納入した初号器では、リプレース可能なサイズを達成し、国内初 $^{(\pm 1)}$ の電力用SF<sub>6</sub>ガスフリーGISとして、2023年に運転を開始した。

Sulfur hexafluoride (SF $_6$ ) gas possesses high insulation performance and has been widely used as a high-voltage insulating medium for transmission and transformation equipment including gas-insulated switchgears (GIS). However, because of the extremely high global warming potential (GWP) value of SF $_6$  gas, reducing use of this gas has become an extremely important part in pursuing carbon neutrality. Developing equipment that does not make use of SF $_6$  gas has accelerated worldwide in recent years.

Toshiba Energy Systems & Solutions Corporation is developing a lineup of substation equipment using natural origin gas under the AEROXIA<sup>™</sup> brand. This includes a 72/84 kV AEROXIA<sup>™</sup> series GIS that uses synthetic air as a replacement for SF<sub>6</sub> gas for the first time, as well as a compact design to accommodate the increased demand for renovating existing GIS by improving the surface conditions of high-voltage conductors and optimizing the performance of arc-extinguishing earthing switches. The first 72/84 kV AEROXIA<sup>™</sup> series GIS was installed at the TEPCO Power Grid, Inc. Fuchu Substation, which started operations in 2023 as the first GIS using a natural origin gas in-service in Japan.

# 1. まえがき

 $SF_6$ ガスは、安全かつ化学的に極めて安定なガスであると同時に、優れた物理・化学的特性を持つ。電力分野では開閉器などの絶縁・消弧媒体として使用され、機器のコンパクト化とともに、送配電システムの高信頼化、省保守化、経済性向上に大きく貢献している。一方、 $SF_6$ ガスは地球温暖化係数が二酸化炭素  $(CO_2)$  の24,300  $E^{(1)}$ と極めて高いフッ素系人工ガスであり、大気放出された場合の地球環境への影響が非常に大きいことから、欧米を中心に、 $SF_6$ ガスフリーの機器開発が活発に行われている。

東芝エネルギーシステムズ(株)は、2016年4月に産学が連携して設立した「 $SF_6$ 代替ガス検討会」での議論を基に策定された適用ガイドライン「 $SF_6$ ガスフリー技術に求められる7つの要件」 (2)を指針とし、 $SF_6$ ガスフリー技術の研究開発を進めてきた。この検討会は、 $SF_6$ ガスフリー技術における課題を整理し、海外の最新動向や検証課題について情

報共有を図るとともに、日本国内における実現の可能性を検討する目的で設立された。表1に、前述の"7つの要件"を示す。当社は、自然界に存在するガスを用いたGIS及びガス絶縁母線(GIB:Gas Insulated Busbar)の開発の推進を目的とし、新しい変電機器ブランドAEROXIA<sup>TM</sup>を立ち上げた。その初製品として、地球温暖化係数がゼロのドライエアを絶縁媒体とする $72/84\,\mathrm{kV}$  AEROXIA GISを開発<sup>(3)</sup>し、初号器を東京電力パワーグリッド(株)府中変電所に納

### 表 1. SF<sub>6</sub>ガスフリー技術に求められる7つの要件

Requirements for GIS using natural origin gas

No.	要 件
1	安全性・環境適合性
2	使用環境の制約
3	ガスの安定供給
4	ガスの扱いやすさ
5	ライフサイクルコスト
6	既設設備とのリプレース性
7	高電圧GISへの拡張性

<sup>(</sup>注1) 2025年2月時点,電力用 $SF_6$ ガスフリーGISとして,当社調べ。

入して、2023年に運転を開始した。

ここでは、当社が $SF_6$ ガスフリー技術としてフッ素系人工ガスではなく自然由来ガスを選定した理由について述べた後、 $72/84 \,\mathrm{kV}$  AEROXIA $^{\mathrm{TM}}$ GISの開発・適用技術、及び今後開発予定の次世代 AEROXIA $^{\mathrm{TM}}$ GISについて述べる。

# 2. 自然由来ガスの選定

現在,世界のSF<sub>6</sub>ガスフリーGISに使用されているガ スは、自然由来ガスとフッ素系人工ガス(フルオロニトリル (C4-FN) など) の二つに大別される。フッ素系人工ガスは、 絶縁・電流遮断性能に優れるが地球温暖化係数が1以上 であり、また、安全性の懸念が完全には解消されていない。 一方, 自然由来ガスはフッ素系人工ガスと比較すると性能 面では劣るものの、環境面や毒性といった懸念がないことが 特長である。両ガスとも一長一短がある中、当社は、より環 境面に配慮する観点から、自然由来ガスを選択した。自然 界に存在するガスの中で、前述の7つの要件を満たしつつ、 GISとしての実用上の要件、すなわち高電圧絶縁機器用ガ スとしての絶縁性能とアーク遮断性能を備え、かつ材料に 対する腐食性や高い反応性がないことを考慮すると、表2に 示すように単体若しくは混合ガスの主ガスとして適用できる ガスは窒素  $(N_2)$ ,  $CO_2$ , 酸素  $(O_2)$  の3種類に限定される。 ドライエアは、N<sub>2</sub>を主とした混合ガスである<sup>(4)</sup>。

### 3. 72/84 kV AEROXIA™GISの開発

## 3.1 開発方針

72/84 kV AEROXIA™GISには、ドライエアを適用した。 ドライエアは、現状では、リプレース性や高電圧・大容量 化への拡張性に課題があるものの、主要なリプレース対象と して想定されている1970~1980年代に納入された初期の GISとほぼ同じ体格となる。一方で、入手性やガスの扱いや すさの問題は全くない。定格仕様を表3に示す。

# 表 2. 7つの要件を具体化した選定基準としたAEROXIA™GISに適用可能なガス種の絞り込み

Criteria for narrowing down gases applicable to AEROXIA™ series GIS

選定基準	適合するガス種の数	
化学便覧に記載の全てのガス種	8,568	
常温25 ℃で気体	189	
オゾン層破壊効果がない(CIやBrを含まない)	149	
毒性及び揮発性がない	69	
腐食性・高反応性のガスではない	50	
ガス特性の詳細が不明ではない	20	
地球温暖化係数≦1	9	
開閉器への使用に適合	3	

### 3.2 72/84 kV AEROXIA™GIS に適用した技術

ドライエアは、 $SF_6$ ガスに比べて絶縁性能が1/3程度になることから、絶縁距離を確保するために機器が大きくなる問題がある。このため、ドライエア環境下において絶縁性能を向上させる技術、及び内部構造物の最適配置や部品点数削減を可能とする技術を適用し、機器を縮小した。

### 3.2.1 高電圧導体の対地間絶縁距離の低減

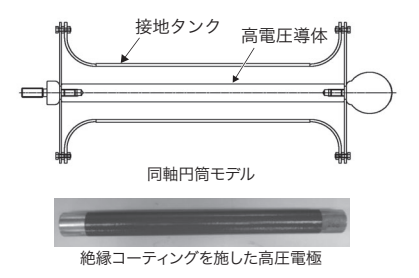
絶縁媒体にドライエアを使用するため、ドライエア絶縁設計の新しい評価基準が必要である。そこで、図1に示す $\phi30$  mmの高電圧導体と $\phi90$  mmの接地タンクの同軸円筒モデルを用いて、ドライエアの絶縁破壊特性を取得した(5)。表面粗さの異なる3種類のアルミニウム製高電圧導体の裸電極、及びエポキシ系の絶縁コーティングを施した高電圧導体を用意し、それぞれに対して雷インパルス電圧、開閉インパルス電圧、商用周波電圧を印加する実験を行った。図2は、各電極表面状態における50%破壊電界(E50)を電圧波形ごとに整理した結果を示す。電極表面

### 表3. 72/84 kV AEROXIA<sup>™</sup>GISの定格仕様

Rated specifications of 72/84 kV AEROXIA™ series GIS

項目 仕様  定格電圧 (kV) 72/84  定格周波数 (Hz) 50/60  定格電流 (A) 主母線部:1,200/2,000/3,000 線路側:1,200/2,000  定格短時間耐電流 (kA) 31.5(2s)  定格雷インパルス耐電圧 (kV) 350*1  定格商用周波耐電圧 (kV) 140  遮断部 真空遮断器*2  定格ガス圧力 (MPaG, 20°C) 0.5  絶縁媒体 ドライエア		,	
定格周波数     (Hz)     50/60       定格電流     (A)     主母線部:1,200/2,000/3,000 線路側:1,200/2,000       定格短時間耐電流     (kA)     31.5 (2 s)       定格雷インパルス耐電圧     (kV)     350*1       定格商用周波耐電圧     (kV)     140       遮断部     真空遮断器*2       定格ガス圧力     (MPaG, 20°C)     0.5	項目		仕 様
定格電流     (A)     主母線部: 1,200/2,000/3,000 線路側: 1,200/2,000       定格短時間耐電流     (kA)     31.5 (2 s)       定格雷インパルス耐電圧     (kV)     350*1       定格商用周波耐電圧     (kV)     140       遮断部     真空遮断器*2       定格ガス圧力     (MPaG, 20°C)     0.5	定格電圧	(kV)	72/84
定格電流     (A)     線路側: 1,200/2,000       定格短時間耐電流     (kA)     31.5(2s)       定格電インパルス耐電圧     (kV)     350*1       定格商用周波耐電圧     (kV)     140       遮断部     真空遮断器*2       定格ガス圧力     (MPaG, 20°C)     0.5	定格周波数	(Hz)	50/60
定格雷インパルス耐電圧     (kV)     350*1       定格商用周波耐電圧     (kV)     140       遮断部     真空遮断器*2       定格ガス圧力     (MPaG, 20°C)     0.5	定格電流	(A)	
定格商用周波耐電圧     (kV)       遮断部     真空遮断器*2       定格ガス圧力     (MPaG, 20°C)       0.5	定格短時間耐電流	(kA)	31.5(2s)
遮断部     真空遮断器*²       定格ガス圧力     (MPaG, 20°C)       0.5	定格雷インパルス耐電圧 (kV)		350*1
定格ガス圧力 (MPaG, 20°C) 0.5	定格商用周波耐電圧(kV)		140
	遮断部		真空遮断器*2
絶縁媒体ドライエア	定格ガス圧力 (MPaG,	20°C)	0.5
	絶縁媒体		ドライエア

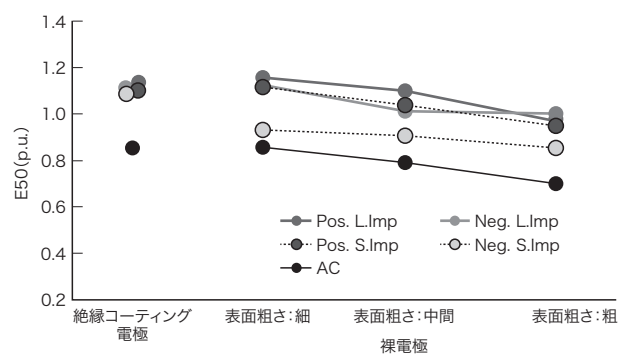
- \*1 定格電圧84kVの場合、耐電圧仕様はJEC-2390:2023に規定された低減電圧を 適田
- \*2 (株)明電舎製作の真空遮断器 (VCB) を適用



# 図1. 実験モデルの構造及び絶縁コーティングを施した高電圧導体電極

φ30 mmの高電圧導体の電極とφ90 mmの接地タンクの同軸円筒モデルを用いて、ドライエアの絶縁破壊特性を取得した。

Structure of experimental model and high-voltage electrode with insulating coating



p.u.:per unit Pos.:正極性 Neg.:負極性 L.Imp:雷インパルス耐電圧 S.Imp:開閉インパルス耐電圧 AC:商用周波耐電圧

#### 図2. 各電極表面条件における50%破壊電界

裸電極の表面粗さを細かくして平滑化すること及び電極表面を絶縁コーティングすることで絶縁破壊特性が向上し、中でも絶縁コーティングした場合に 最も絶縁破壊特性が向上した。

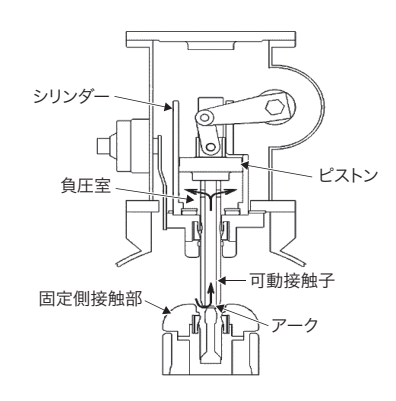
Dependence of 50% breakdown electric field on electrode surface conditions

を平滑化することで破壊電界が上昇すること、また絶縁コーティングを施すことで各種電圧波形において破壊電界が上昇することが分かった。この結果を製品に適用することで、ガス中の高電圧導体と対地間の絶縁距離を低減でき、機器のコンパクト化につながった。

### 3.2.2 ガス接地開閉器のコンパクト化

コンパクト化を図るために, ガス接地開閉器においてドライエア環境下での電流開閉能力が最適になるように電流消弧方式の改良を行った。

ガス接地開閉器は、送電系統の併架による電磁・静電 誘導を受けて流れる誘導電流を遮断する必要がある。誘 導電流は電圧1,500 V, 電流200 Aであり, 遮断器と比 較すると小さいものの、ドライエア中で物理的に回路を開閉 するだけでは、電流開閉(電流消弧)は困難である。当社 は、この電流消弧方式に吸い込み消弧形方式を適用した (図3)。吸い込み消弧形方式とは、開路動作時にシリン ダーとピストンで作られる負圧室にガスを吸い込むことでガ スの流れを発生させ、可動接触子と固定側接触部間に発生 したアークを消弧する方式である。消弧能力を上げるには, 電流遮断時に発生するアークの発生位置の制御とガス流の 速度・容量の増加が重要となる。そこで、アークを接触部 の中心に発生させるため、 固定側接触部にはアークコンタ クトを設けた構造とした。また、シリンダーとピストン構造を 見直し、可動接触子の動作位置に対して適切にガス流を発 生させる構造とした。この結果、操作力を増大させることな くガス中の構造物を縮小化でき、機器全体のコンパクト化 につながった。



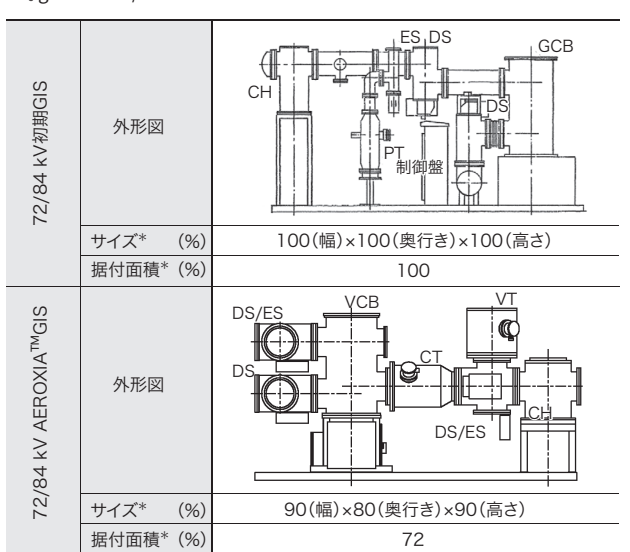
### 図3. 吸い込み消弧形方式のガス接地開閉器の構造

開路動作時にシリンダーとピストンで作られる負圧室にガスを吸い込むこと でガスの流れを発生させ、可動接触子と固定側接触部間に発生したアーク を消弧する。

Structure of earthing switch for suction arc extinguishing type GIS

### 表4. 72/84 kV 初期 GISと72/84 kV AEROXIA™ GIS の比較

Comparison of external size and installation area of 72/84 kV GIS using SF<sub>6</sub> gas and 72/84 kV AEROXIA™ series GIS



DS: 断路器 ES: 接地開閉器 GCB: ガス遮断器 PT: 電圧変成器 CH: ケーブルヘッド CT: 変流器 VT: 計器用変圧器 \*初期GISのサイズ及び据付面積を100 %とした相対値

### 3.3 機器サイズとリプレース性

表4に、72/84 kV 初期 GIS と開発した72/84 kV AEROXIA<sup>™</sup> GIS の比較を示す。72/84 kV 初期 GIS と比べて、72% の据付面積となり、十分リプレース可能なサイズを達成した。開発した72/84 kV AEROXIA<sup>™</sup> GIS の初号器は国内初の電力用 SF<sub>6</sub>ガスフリー GIS として東京電力パワーグリッド(株) 府中変電所にて2023年に運転を開始した(**図4**)。

# 4. 次世代AEROXIA™GISの開発

当社は、カーボンニュートラルへの更なる貢献を目指し、



図4. 府中変電所に納入した国内初の電力用 SF<sub>6</sub>ガスフリー GIS 2023年に東京電力パワーグリッド(株)府中変電所にて運転を開始した。 Japan's first 72/84 kV GIS using natural origin gas

次のAEROXIA<sup>™</sup>変電機器として次世代GIS及びGIBの開発を進めている。特にGIBは、主に変電所内での電力伝送を担い、広範囲にわたる電力経路を構成するため、変電所内の機器の中で占める割合は多い。GIBに従来の $SF_6$ ガスを使用した場合、膨大な量のガスが必要となり環境影響が大きくなるが、自然由来ガスを採用することで環境影響を大幅に低減できる。そのため、GIBはカーボンニュートラルの実現に貢献するための重要な開発ターゲットである。

**図5**は、変電所における機器構成の一例、並びに現在開発 を進めている550/420 kV AEROXIA<sup>™</sup>GIBの開発モデルを

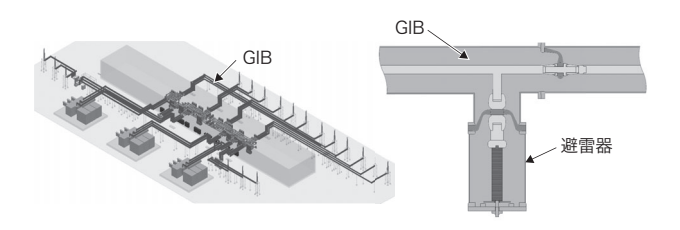


図5. 550/420 kV AEROXIA™GIBの開発モデル

GIBの絶縁ガスを全て自然由来ガスに置き換えることで、 $SF_6$ ガスの大幅な削減が期待できる。

Structure of development model of 550/420 kV AEROXIA™ series GIS

# 表5. 550/420 kV AEROXIA™GIB の基本仕様

Rated specifications of 550/420 kV AEROXIA  $^{\text{TM}}$  series gas-insulated busbar (GIB) in development

項目	仕 様		
定格電圧 (kV)	550	420	
定格電流 (A)	4,000	4,000	
定格短時間耐電流 (kA)	63(2s)	63(3s)	
定格周波数 (Hz)	50/60	50/60	
絶縁媒体	CO <sub>2</sub> -O <sub>2</sub>	CO <sub>2</sub> -O <sub>2</sub>	
適用規格	JEC-2390:2023 JEC-2350:2016	IEC 62271-1 IEC 62271-203	

JEC:電気学会 電気規格調査会標準規格 IEC:国際電気標準会議規格

示す。GIBを全て自然由来ガスに置き換えることで, $SF_6$ ガスの大幅な削減が期待できる。 $550/420~kV~AEROXIA^{TM}GIB$ の基本仕様を表 $\mathbf{5}$ に示す $^{(6)}$ 。特に, $550/420~kV~AEROXIA^{TM}GIB$ は国内最高電圧である定格電圧550~kVに対応することで,前述の7つの要件で最も難しい課題である高電圧化の要求にも応えることができる。

### 5. あとがき

当社は、 $SF_6$ ガスフリー技術として自然由来ガスに着目して研究開発を行っており、 $72/84\,\mathrm{kV}$ ドライエアGISを製品化した。今後も環境負荷低減と信頼性向上を両立した自然由来ガスを用いた新しい変電機器ブランド $AEROXIA^{\mathrm{TM}}$ の開発を推進し、高電圧領域においても製品ラインアップを整備し、カーボンニュートラルの実現に貢献していく。

### 文 献

- (1) Smith, C. et al. The Earth's Energy Budget, Climate Feedbacks and Climate Sensitivity Supplementary Material. IPCC, 2021, 35p. <a href="https://www.ipcc.ch/report/ar6/wg1/downloads/report/IPCC\_AR6\_WGI\_Chapter07\_SM.pdf">https://www.ipcc.ch/report/ar6/wg1/downloads/report/IPCC\_AR6\_WGI\_Chapter07\_SM.pdf</a>, (accessed 2025-02-25).
- (2) 塚尾茂之. 放電現象と絶縁技術 SF<sub>6</sub>ガス代替技術の動向と要件. 電気 評論. 2020, **105**, p.45-55.
- (3) 高尾修平, ほか. "72/84kV SF<sub>6</sub>フリー GISの開発(その1)". 電気学会全国大会講演論文集. オンライン開催, 2022-03, 電気学会. 2022, 6-047.
- (4) 内井敏之, "国内各メーカの代替ガス機器開発に対する動向①自然由来 ガスによる開閉器技術"。電気学会全国大会講演論文集。オンライン開 催、2021-03,電気学会。2021、S5-54.
- (5) 安岡孝倫, ほか. "ドライエア 0.55MPa における絶縁破壊特性-電極表面粗さの影響と絶縁コーティング効果-". 電気学会全国大会講演論文集. 名古屋, 2023-03, 電気学会. 2023, 6-033.
- (6) 薄 拓哉, ほか. "420/550kV Fガスフリー単相 GIB の開発". 電気学会 全国大会講演論文集. 東京, 2025-03, 電気学会, 2025, 403-B2.



高尾 修平 TAKAO Shuhei 東芝エネルギーシステムズ (株) グリッド・ソリューション事業部 開閉装置部 Toshiba Energy Systems & Solutions Corp.



大西 智哉 ONISHI Tomoya 東芝エネルギーシステムズ (株) グリッド・ソリューション事業部 電力変電技術部 Toshiba Energy Systems & Solutions Corp.



白井 英明 SHIRAI Hideaki 東芝エネルギーシステムズ (株) グリッド・ソリューション事業部 電力変電技術部 Toshiba Energy Systems & Solutions Corp.